



Article

Stabilité Thermodynamique et Transitions de Phase dans le Consensus de Nakamoto

Pascal Ranaora^{1,*}

¹Chercheur Indépendant - Information Physics Institute, Sydney, Australie

* Auteur correspondant : pascal.ranaora@informationphysicsinstitute.net

Résumé - Nous proposons un modèle physique minimal pour le protocole de consensus distribué de Nakamoto, basé sur la mécanique statistique hors équilibre. Nous traitons le registre comme un système de réseau unidimensionnel où l'état de consensus est déterminé par la minimisation d'une fonction de coût thermodynamique, analogue à l'énergie libre dans les systèmes de spins. Dans ce cadre, le problème de la "Double Dépense" est identifié comme une brisure de symétrie locale du paramètre d'ordonnancement temporel. Nous démontrons que la Preuve de Travail (PoW) agit comme un champ externe dissipatif qui force le système à passer d'une phase "liquide" désordonnée (transactions non confirmées) à une phase "cristalline" ordonnée (historique immuable). En définissant une température effective dérivée de la latence du réseau et du hashrate, nous analysons la finalité probabiliste du registre non pas comme un horizon d'événements, mais comme une décroissance de la longueur de corrélation caractéristique des théories des champs massifs. Enfin, nous interprétons les fourches (forks) de la chaîne comme des défauts topologiques (murs de domaine) et montrons que l'événement du "Halving" agit comme une trempe soudaine (quench), soumettant le réseau à un ralentissement critique cohérent avec le mécanisme de Kibble-Zurek.

Mots-clés - Consensus de Nakamoto ; Thermodynamique ; Transitions de Phase ; Mécanique Statistique ; Mécanisme de Kibble-Zurek ; Entropie de l'Information ; Bitcoin.

1 Introduction : La Thermodynamique du Consensus Distribué

Le problème fondamental du consensus distribué réside dans l'établissement d'un ordonnancement canonique des événements en l'absence d'un chronomètre global. Alors que la Tolérance aux Pannes Byzantines (BFT) classique repose sur des horloges logiques et des seuils de vote, de tels systèmes manquent d'ancre physique, ce qui les rend vulnérables aux attaques Sybil où des identités sans coût génèrent des historiques arbitraires [1, 2].

Du point de vue de la physique de l'information, le problème de la "Double Dépense" représente une défaillance de l'invariance de l'ordonnancement temporel ; sans un coût thermodynamique irréversible, la transformation $t \rightarrow -t$ est une symétrie valide, rendant l'historique $\mathcal{H}_A = \{E_1, E_2\}$ physiquement indiscernable de $\mathcal{H}_B = \{E_2, E_1\}$ [3]. Pour extraire un historique unique et immuable du bruit stochastique d'un réseau pair-à-pair, le système doit subir un processus de brisure de symétrie induit par la dissipation d'énergie [4].

Nous proposons un modèle physique minimal du protocole de Nakamoto en tant que système thermodynamique hors équilibre. Nous traitons le registre distribué non pas comme une structure de données discrète, mais comme un réseau unidimensionnel \mathcal{L} évoluant sous un forçage dissipatif. L'émergence du consensus est modélisée comme une transition de phase continue, passant d'une phase

”désordonnée” à haute entropie (le mempool) à une phase ”ordonnée” à basse entropie (la blockchain), analogue à la cristallisation d'un liquide [5]. Contrairement aux structures de données statiques, la blockchain est une ”structure dissipative” qui maintient son état de basse entropie loin de l'équilibre uniquement grâce à la consommation continue de travail [6, 7].

1.1 Le Modèle de Réseau Minimal

Nous définissons l'espace des états du réseau Ω comme l'ensemble de toutes les permutations de chaînes possibles (fourches ou *forks*). La probabilité $P(\mathcal{H})$ qu'un historique spécifique $\mathcal{H} \in \Omega$ soit sélectionné comme réalité du consensus suit une distribution de Boltzmann dérivée de l'ensemble canonique :

$$P(\mathcal{H}) = \frac{1}{Z} e^{-\beta E(\mathcal{H})} \quad (1)$$

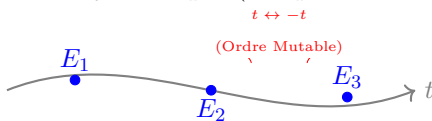
où Z est la fonction de partition et β est la température effective inverse, déterminée par le rapport entre le hashrate honnête et la latence du réseau [8].

Pour aligner la ”Règle de la Chaîne la Plus Longue” avec le Principe de Moindre Action, nous définissons le Hamiltonien effectif \mathcal{H}_{eff} du système comme l'opposé de la Preuve de Travail (PoW) cumulée :

$$\mathcal{H}_{eff} = - \sum_{i \in \text{blocs}} \mathcal{W}(D_i) \quad (2)$$

Dans ce cadre, le Consensus de Nakamoto n'est pas un algorithme arbitraire mais une inévitabilité physique : le système se relâche naturellement dans l'état fondamental qui minimise l'énergie libre $\mathcal{F} = E - TS$ [9]. L’”Attaque des 51%” est ainsi recontextualisée non pas comme une faille de sécurité, mais comme une transition de phase induite thermiquement (fusion) où la température du vecteur d'attaque T_{attack} dépasse la température critique T_c de l'énergie de liaison du réseau.

A. Phase Symétrique (Temps Réversible)



B. Symétrie Brisée (Temps Irréversible)

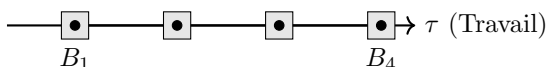


Figure 1 – La Flèche du Temps. En haut : Sans dissipation d'énergie, l'ordonnancement des événements est symétrique dans le temps et fluide. En bas : L'injection de la Preuve de Travail brise cette symétrie, cristallisant les événements dans une séquence thermodynamique rigide et irréversible.

2 Statistiques de Réseau et Flèche du Temps

Nous modélisons la blockchain comme un réseau unidimensionnel en croissance \mathcal{L} de longueur $N(t)$, où chaque site i représente un bloc B_i . L'état macroscopique du système est défini par la séquence de blocs $\mathbf{S} = \{B_0, B_1, \dots, B_N\}$. Contrairement aux structures de données statiques, ce réseau est dynamique ; sa géométrie est déterminée par un processus de croissance stochastique qui lutte contre la dégradation entropique (perte d'information via les fourches).

2.1 Symétrie de Renversement du Temps et Dégénérescence Sybil

Considérons un système de registre distribué avec un coût énergétique nul pour la création de blocs ($\mathcal{W} = 0$). Dans ce régime, le système présente une **Symétrie de Renversement du Temps** (Symétrie \mathcal{T}). Pour tout historique donné \mathbf{S}_A (par exemple, ”Alice paie Bob”), il existe un historique informatiquement symétrique \mathbf{S}_B (par exemple, ”Alice paie Charlie”) qui est indiscernable pour un nouvel observateur [3].

Cette dégénérescence implique que la "flèche du temps" n'est pas définie ; le système existe dans une superposition de micro-états avec un poids statistique égal. Mathématiquement, cela correspond à un système à température infinie ($T \rightarrow \infty$). La fonction de partition diverge, et la probabilité d'observer un historique spécifique \mathbf{S} devient uniforme :

$$P(\mathbf{S}_A) \approx P(\mathbf{S}_B) \approx \frac{1}{|\Omega|} \quad (3)$$

où $|\Omega|$ est le volume de l'espace des états (toutes les fourches possibles). C'est la définition physique de l'attaque "Sybil" : une dégénérescence thermodynamique où des identités sans coût peuvent générer des historiques arbitraires [2]. Sans un champ de brisure de symétrie, l'entropie de l'historique $S_{history}$ est maximisée, rendant le registre purement aléatoire et dénué d'information [6].

2.2 Le Hamiltonien du Consensus

Pour sélectionner un historique unique, nous devons introduire une fonction de coût dissipative qui lève cette dégénérescence. Nous définissons le **Hamiltonien** effectif \mathcal{H}_{eff} d'une configuration de chaîne \mathbf{S} comme l'opposé du travail cumulé effectué pour la construire :

$$\mathcal{H}_{eff}(\mathbf{S}) = - \sum_{i=0}^N \mathcal{W}(B_i) \cdot \mathbb{I}_{valid}(B_i) \quad (4)$$

où $\mathcal{W}(B_i)$ est la dépense énergétique (Preuve de Travail) et \mathbb{I}_{valid} est l'indicateur de la règle de consensus. La probabilité qu'un historique spécifique émerge comme la "vérité" est régie par la mesure de l'ensemble canonique :

$$P(\mathbf{S}) = \frac{1}{Z} e^{\beta \sum \mathcal{W}(B_i)} \quad (5)$$

Ici, β agit comme la **Température d'Information Inverse**, mesurant le paramètre de sécurité du réseau.

- **Haute Température ($\beta \rightarrow 0$)** : Faible difficulté. Le système est "liquide", et l'historique est mutable (réorganisations fréquentes).
- **Basse Température ($\beta \rightarrow \infty$)** : Haute difficulté. Le système est "figé", et l'historique est immuable.

La "Règle de la Chaîne la Plus Longue" est ainsi dérivée non pas comme une heuristique arbitraire, mais comme la configuration qui minimise l'Énergie Libre du système $\mathcal{F} = E - TS$ [9].

2.3 Brisure Spontanée de Symétrie (SSB)

La transition du mempool à la blockchain correspond à la **Brisure Spontanée de Symétrie (SSB)**. Nous définissons le Paramètre d'Ordre Ψ comme l'**Aimantation Nette** du réseau, par analogie au modèle d'Ising :

$$\Psi = \langle \frac{1}{N} \sum_i \vec{s}_i \rangle \quad (6)$$

où \vec{s}_i est le vecteur de "spin de consensus" du noeud i .

- **Phase Désordonnée ($T > T_c$)** : $\Psi \approx 0$. Les noeuds sont orientés de manière aléatoire (fourches). Le système possède une symétrie rotationnelle $O(2)$ (aucun historique préféré).
- **Phase Ordonnée ($T < T_c$)** : $\Psi \rightarrow 1$. Les noeuds s'alignent spontanément le long d'une seule "ligne d'univers". La symétrie rotationnelle est brisée.

Cette transition de phase est induite par l'injection d'énergie à basse entropie (électricité), qui agit comme un champ magnétique externe H_{ext} alignant les spins [10].

2.4 L'Hypothèse du Temps Thermique

Ce cadre s'aligne avec l'**Hypothèse du Temps Thermique** de Connes et Rovelli [11], qui postule que le temps n'est pas une variable fondamentale mais une émergence statistique découlant de l'état thermodynamique d'un système.

Dans le consensus de Nakamoto, le "Temps" est littéralement la "Chaleur". La hauteur de bloc N est une mesure de l'énergie dissipée ΔQ .

$$\Delta t_{phys} \propto \frac{\Delta Q}{k_B T_{network}} \quad (7)$$

En couplant l'ordonnancement logique des événements à la génération irréversible d'entropie (Principe de Landauer [4]), le protocole impose une flèche physique du temps. Une "réécriture" de l'historique (Double Dépense) exige que l'attaquant renverse cette génération d'entropie, ce qui est statistiquement interdit par la Seconde Loi de la Thermodynamique [5]. Ainsi, l'immuabilité de la blockchain n'est pas cryptographique, mais thermodynamique.

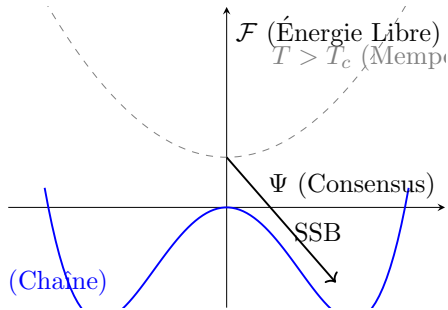


Figure 2 – Brisure de Symétrie dans le Consensus. À haute température effective (travail nul), l'énergie libre \mathcal{F} possède un seul minimum à $\Psi = 0$ (Désordre/Sybil). En dessous de la température critique (travail positif), le potentiel bifurque. Le système doit spontanément "rouler" dans l'un des vides stables (un historique spécifique), brisant ainsi la symétrie. Revenir à l'autre vide (Double Dépense) nécessite de surmonter la barrière de potentiel $\Delta\mathcal{F}$, qui croît avec la profondeur de confirmation.

3 Potentiel Thermodynamique et Brisure de Symétrie

Nous analysons la stabilité du registre en utilisant la théorie de Landau des transitions de phase. Nous postulons que la blockchain opère comme un champ continu $\phi(x, t)$ représentant la **densité de sécurité** (hashrate) à travers le réseau.

3.1 Le Paramètre d'Ordre

Nous définissons le paramètre d'ordre complexe $\phi(x)$:

$$\phi(x) = \rho(x)e^{i\theta(x)} \quad (8)$$

où :

- $\rho(x)$ est l'amplitude de la puissance de calcul (Hashrate).
- $\theta(x)$ est la phase, représentant l'historique spécifique (la pointe de la chaîne) sélectionné par le mineur à l'emplacement x .

Un état où $\nabla\theta = 0$ correspond à un consensus global (tous les mineurs prolongent le même historique). Un état où $\nabla\theta \neq 0$ correspond à une fourche (mur de domaine).

3.2 Énergie Libre de Landau

La dynamique du système est régie par la minimisation de la fonctionnelle d'Énergie Libre de Landau \mathcal{F} . La densité de potentiel effectif $V(\phi)$ détermine l'état d'équilibre :

$$V(\phi) = a(T)|\phi|^2 + b|\phi|^4 \quad (9)$$

C'est le potentiel standard en "chapeau mexicain" utilisé pour décrire la brisure spontanée de symétrie. Les coefficients sont déterminés par des paramètres économiques :

1. **Le Terme d'Instabilité ($a < 0$)** : Celui-ci représente l'**Incitation au Minage** (Récompense de Bloc + Frais). Puisque a est négatif, l'état $\phi = 0$ (hashrate nul) est instable. Le système est poussé thermodynamiquement à s'éloigner de l'origine.

2. **Le Terme de Saturation** ($b > 0$) : Celui-ci représente le **Coût Thermodynamique** (Électricité + Matériel). Le terme quartique empêche le hashrate de diverger vers l'infini, créant un minimum stable où le Revenu Marginal est égal au Coût Marginal.

Le système se relâche dans l'état fondamental avec une valeur d'attente non nulle ϕ_0 :

$$|\phi_0| = \sqrt{\frac{-a}{2b}} \propto \sqrt{\frac{\text{Récompense}}{\text{Coût}}} \quad (10)$$

Cette valeur ϕ_0 est le **Hashrate d'Équilibre** du réseau.

3.3 Action de Nakamoto et Mise à l'Échelle Dimensionnelle

Pour établir un isomorphisme physique strict et définir l'échelle d'énergie du système, nous introduisons la constante fondamentale de la théorie, l'**Action de Nakamoto** κ_N . Cette constante a les dimensions strictes de l'action physique ($J \cdot s$). Par analogie avec la relation de Planck ($E = \hbar\omega$), nous relierons l'**Énergie d'État** effective macroscopique $E_{eff}(t)$ du réseau de consensus à sa fréquence de calcul globale, le Hashrate $\nu(t)$ (mesuré en s^{-1}) :

$$E_{eff}(t) = \kappa_N(t) \cdot \nu(t) \quad [\text{Joules}] \quad (11)$$

Ici, la dimensionnalité est strictement cohérente : $(J \cdot s) \times (s^{-1}) = \text{Joules}$. L'Action de Nakamoto $\kappa_N(t)$ agit comme une constante de couplage variable qui reflète l'efficacité thermodynamique de la couche matérielle sous-jacente, diminuant à mesure que l'efficacité du matériel s'améliore (Loi de Moore).

Nous pouvons alors définir formellement l'**Action de Consensus** \mathcal{S}_{PoW} évaluée le long de l'historique de la chaîne \mathcal{C} comme l'intégrale temporelle de cette énergie effective :

$$\mathcal{S}_{PoW} = \int_{\mathcal{C}} E_{eff}(t) dt = \int_{\mathcal{C}} \kappa_N(t) \cdot \nu(t) dt \quad [J \cdot s] \quad (12)$$

Cette formulation démontre que le registre ne se contente pas d'accumuler des blocs de données discrets, mais qu'il accumule de l'**Action**. En dissipant de la chaleur, le protocole diminue l'entropie logique du système. La "Chaîne la Plus Lourde" est ainsi physiquement équivalente à la trajectoire de phase qui maximise cette action accumulée, créant une barrière thermodynamique infranchissable contre la réorganisation de l'historique.

3.4 Brisure Spontanée de Symétrie

La transition du mempool (désordonné) à la blockchain (ordonnée) correspond à la brisure spontanée de la symétrie $U(1)$ de la phase θ .

- **Avant le Minage** : Tous les nonces (phases) sont équiprobables. La symétrie n'est pas brisée.
- **Après le Minage** : Un nonce spécifique est trouvé. La symétrie est brisée, et un historique spécifique est sélectionné.

Le "mode de Goldstone" associé à cette brisure est la fluctuation sans masse du nonce, correspondant au processus de recherche aléatoire. Le "mode massif" est la rigidité du hashrate, qui résiste aux perturbations (attaques).

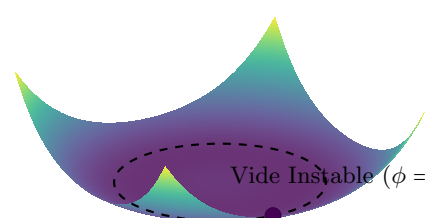


Figure 3 – Le Potentiel de Consensus. Le système roule spontanément de l'origine instable (sécurité nulle) vers la vallée stable ϕ_0 (hashrate d'équilibre), définie par l'équilibre entre l'incitation (a) et le coût (b).

4 Longueur de Corrélation et Finalité Probabiliste

Dans cette section, nous dérivons la finalité probabiliste du registre non pas comme un horizon géométrique, mais comme une propriété de décroissance de corrélation dans une théorie des champs massifs. Nous traitons la blockchain comme une chaîne de spins 1D à température finie.

4.1 La Fonction de Corrélation

Nous définissons la stabilité du registre via la fonction de corrélation à deux points $G(z)$. Soit S_i l'état du bloc à la hauteur i (confirmé vs rejeté). La probabilité que l'état à la profondeur z reste corrélé avec la pointe de consensus actuelle est donnée par :

$$G(z) = \langle S_{tip} \cdot S_{tip-z} \rangle \quad (13)$$

Dans un système sans masse (difficulté nulle), les fluctuations se propageraient infiniment, et l'historique serait mutable à toutes les profondeurs ($G(z) \sim \text{const}$). Cependant, le mécanisme de Preuve de Travail introduit un "écart de masse" (mass gap) m (la cible de difficulté) dans la théorie. Dans les théories des champs massifs, les corrélations décroissent exponentiellement avec la distance :

$$G(z) \sim 1 - e^{-z/\xi} \quad (14)$$

où ξ est la **Longueur de Corrélation** (ou Profondeur de Finalité). Cette échelle de longueur est déterminée par le rapport entre l'"énergie de liaison" (Hashrate Honnête P_H) et le "bruit thermique" (Hashrate de l'Attaquant P_A).

4.2 Dérivation du Gap de Masse (La Règle des "6 Blocs")

La probabilité de consensus de Nakamoto (Ruine du Joueur) peut être réécrite comme une décroissance exponentielle de la probabilité de réorganisation P_{reorg} :

$$P_{reorg}(z) = \left(\frac{q}{p}\right)^z = e^{-z \cdot \ln(p/q)} \quad (15)$$

où p est la probabilité honnête et q la probabilité de l'attaquant ($p + q = 1$). En comparant cela à la décroissance standard de la mécanique statistique $e^{-z/\xi}$, nous identifions la longueur de corrélation inverse (masse) m :

$$m = \xi^{-1} = \ln\left(\frac{p}{q}\right) \approx \frac{P_{Honnête} - P_{Attaquant}}{P_{Total}} \quad (16)$$

Interprétation Physique :

- **Phase Sans Masse** ($m \rightarrow 0$) : Si $p \approx q$ (seuil de l'attaque des 51%), la longueur de corrélation $\xi \rightarrow \infty$. La finalité n'est jamais atteinte ; le système reste dans un "état critique" de susceptibilité infinie à la réorganisation.
- **Phase Massive** ($m > 0$) : Si $p \gg q$, la longueur de corrélation est courte. L'historique se "fige" rapidement. Pour Bitcoin ($q \approx 0.1$), $\xi \approx 2$ blocs. À $z = 6$ blocs ($z \approx 3\xi$), la probabilité de survie d'une branche concurrente tombe en dessous de 0.1%.

4.3 Température Effective et Blocs "Orphelins" (Stale)

La "pointe" de la chaîne ($z = 0$) se comporte comme une interface fluide soumise à une rugosité thermique. Nous définissons la **Température Effective** T_{eff} du réseau comme la probabilité de trouver un bloc qui ne prolonge pas la chaîne la plus longue (un bloc orphelin ou "stale") :

$$k_B T_{eff} \propto \frac{\tau_{latency}}{\tau_{block}} \quad (17)$$

où $\tau_{latency}$ est le temps de propagation sur le réseau et τ_{block} est l'intervalle cible des blocs (10 minutes).

- **Limite de Température Nulle** ($\tau_{latency} \rightarrow 0$) : Efficacité parfaite. Chaque unité de travail prolonge efficacement la chaîne. L'interface est lisse (pas de fourches).

- **Limite de Haute Température** ($\tau_{latency} \rightarrow \tau_{block}$) : Taux élevé de blocs orphelins. Le système gaspille de l'énergie sur des "fluctuations thermiques" au lieu d'étendre le cristal.

Cette dérivation remplace l'analogie du "Rayonnement de Hawking" par une analyse standard du rapport signal sur bruit. Le réseau est un système "chaud" à la pointe (forte incertitude) mais se refroidit exponentiellement à mesure que les blocs sont enfouis sous le travail.

4.4 Nucléation d'un Faux Historique

Une attaque sur la chaîne est analogue à la **nucléation d'une bulle de faux vide**. Un attaquant tentant de réécrire z blocs doit créer un "domaine" de longueur z avec une configuration de spin différente (historique). Le coût en énergie libre ΔF de création de ce domaine est :

$$\Delta F(z) = z \cdot (\mathcal{E}_{Honnête} - \mathcal{E}_{Attaquant}) - TS_{entropie} \quad (18)$$

Pour une attaque réussie, l'attaquant doit vaincre la tension superficielle de la chaîne honnête. Si $\mathcal{E}_{Honnête} > \mathcal{E}_{Attaquant}$, le coût en énergie libre croît linéairement avec z . La probabilité d'une nucléation spontanée d'une réorganisation profonde est ainsi supprimée exponentiellement :

$$P_{nucleation} \propto e^{-\Delta F/k_B T} \quad (19)$$

Cela confirme que l'immuabilité n'est pas absolue, mais **thermodynamiquement robuste**. Réécrire l'historique n'est pas impossible ; c'est simplement statistiquement interdit par la Seconde Loi de la Thermodynamique.

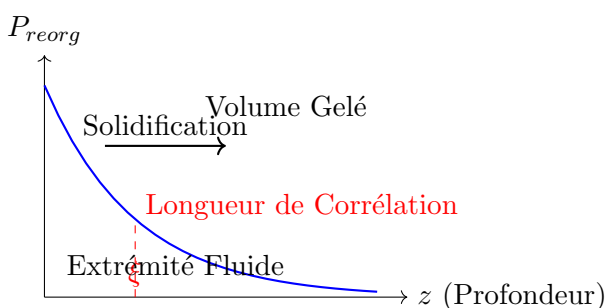


Figure 4 – Décroissance de la Corrélation. La probabilité de réorganisation décroît exponentiellement avec la profondeur z . Le système passe d'une phase "fluide" à la pointe à une phase solide "figée" dans le volume. L'échelle de longueur caractéristique ξ définit la finalité probabiliste.

5 Entropie de l'Information et Frontière Holographique

La stabilité physique du registre peut être davantage comprise en examinant la manière dont le protocole traite et stocke l'information d'état. Nous associons la structure de données du réseau au **Principe Holographique** [12, 13], démontrant comment un historique thermodynamique complexe est compressé en une couche limite fonctionnelle.

5.1 Le Volume et la Frontière

Dans les théories des champs standards, le principe holographique postule que la description d'un volume d'espace (le "bulk" ou volume) peut être entièrement encodée sur une frontière de dimension inférieure à cette région. Dans le consensus de Nakamoto :

- **Le Volume (\mathcal{V})** : La blockchain historique complète, contenant chaque transaction et la Preuve de Travail totale dissipée depuis le bloc Genesis.
- **La Frontière ($\partial\mathcal{V}$)** : L'ensemble des Sorties de Transactions Non Dépensées (UTXO), représentant l'état actif et accessible du réseau à la hauteur de bloc actuelle.

Un nœud de validation n'a pas besoin de calculer continuellement l'état thermodynamique de l'ensemble du volume pour vérifier un nouvel événement. Le travail physique accompli dans le passé est projeté cryptographiquement sur la frontière UTXO. Les fonctions de hachage cryptographique agissent comme les opérateurs de projection, cartographiant l'historique de haute dimension en une surface concise de faible dimension.

5.2 Entropie de Shannon vs. Thermodynamique

Cette projection nous permet de résoudre le paradoxe apparent entre l'entropie de l'information [6] et l'entropie thermodynamique [4].

$$\Delta S_{thermo} \geq -\Delta S_{shannon} \cdot k_B \ln 2 \quad (20)$$

Pour minimiser l'entropie de Shannon de l'historique du registre (c'est-à-dire, s'assurer qu'il n'y a aucune incertitude quant à savoir qui possède quoi), le réseau doit maximiser sa production d'entropie thermodynamique (dissipation thermique via le hachage). L'ensemble UTXO est donc la surface physique où l'incertitude de Shannon $H(X)$ est strictement nulle. Toute tentative d'introduire une transaction invalide représente une injection d'entropie de Shannon (incertitude) dans la frontière, que le réseau rejette immédiatement car elle viole l'état fondamental de basse énergie établi par les règles du protocole.

5.3 La Limite de Bekenstein Informationnelle

Tout comme un système physique possède une capacité d'information maximale limitée par sa surface, la sécurité de la frontière UTXO est limitée par le taux de hachage du réseau. La profondeur thermodynamique du volume garantit la rigidité de la frontière. Si l'injection d'énergie (le hashrate) tombe à zéro, la frontière perd sa rigidité, et la projection holographique se dégrade, permettant aux fourches (historiques alternatifs) de pénétrer facilement l'état actif.

6 Stabilité Topologique du Graphe du Réseau

La robustesse du protocole Bitcoin contre les attaques de partition ne peut être comprise uniquement à travers la thermodynamique 1D. Elle exige une analyse de l'ordre à longue portée à travers la géométrie spatiale du réseau pair-à-pair. Nous modélisons le réseau de consensus en utilisant le **Modèle XY** sur un réseau "petit monde".

6.1 Le Champ de Phase du Consensus

Nous attribuons une variable de phase continue $\theta_i \in [0, 2\pi]$ à chaque noeud i , représentant sa vision locale de la pointe du registre. L'énergie d'interaction entre les pairs cherche à minimiser les différences de phase (consensus) :

$$\mathcal{H}_{XY} = -J \sum_{\langle i,j \rangle} \cos(\theta_i - \theta_j) \quad (21)$$

où J est la constante de couplage, proportionnelle à la Preuve de Travail accumulée.

- **État Fondamental** ($\nabla\theta = 0$) : Consensus Global. Tous les noeuds s'accordent sur la pointe.
- **État Excité** ($\nabla\theta \neq 0$) : Une Fourche. Le réseau est scindé en domaines avec différentes phases.

6.2 Les Fourches comme Défauts Topologiques (Vortex)

Dans les systèmes bidimensionnels (comme le réseau de superposition P2P), les fluctuations thermiques peuvent générer des défauts topologiques connus sous le nom de **vortex**. Un vortex correspond à une boucle fermée de noeuds maintenant des vues divergentes sur l'état de la chaîne :

$$\oint_C \nabla\theta \cdot dl = 2\pi n, \quad n \in \mathbb{Z} \quad (22)$$

Si $n \neq 0$, la boucle entoure une singularité (une fourche persistante). L'énergie d'un tel défaut croît de manière logarithmique avec la taille du système L :

$$E_{vortex} \approx \pi J \ln(L/a) \quad (23)$$

Puisque $E_{vortex} \rightarrow \infty$ pour un L grand, les fourches isolées sont énergétiquement supprimées dans la limite thermodynamique. Cela explique pourquoi les fourches accidentelles (blocs orphelins) ont une courte durée de vie : le système se relâche rapidement vers l'état fondamental sans vortex pour minimiser l'énergie libre.

7 Dynamique Hors Équilibre et la Trempe du "Halving"

Alors que la Section 6 traite de la stabilité spatiale, le réseau doit également survivre à des chocs temporels sévères. La chaîne de temps-bloc (timechain) de Nakamoto fonctionne comme une structure dissipative qui maintient son état de basse entropie loin de l'équilibre uniquement par une consommation d'énergie continue. L'événement du "Halving" n'est pas une simple mise à jour paramétrique ; c'est un choc thermodynamique violent appliqué à un système complexe. Nous modélisons cet événement comme une **Trempe Quantique** (Quantum Quench) globale.

7.1 Le Hamiltonien Dépendant du Temps

Le potentiel effectif $V(\phi)$ est piloté par le potentiel chimique $\mu(t)$ (rentabilité du minage). Ce potentiel subit une discontinuité selon la fonction échelon de Heaviside Θ au moment du Halving :

$$\mu(t) = \mu_0 \left[1 - \frac{1}{2} \Theta(t - t_H) \right] + \delta\mu_{frais}(t) \quad (24)$$

Le Hamiltonien passe soudainement de \mathcal{H}_i à \mathcal{H}_f . Le paramètre d'ordre (hashrate d'équilibre) doit transiter d'un état initial v_i à un état final v_f .

7.2 Le Mécanisme de Kibble-Zurek (KZM)

La transition entre les deux vides ne peut pas être parfaitement adiabatique car la vitesse d'ajustement économique est finie. Le mécanisme de Kibble-Zurek [14, 15] prédit la formation de défauts topologiques lorsque la symétrie est brisée trop rapidement. Parce que le Halving est instantané, l'échelle de temps de la trempe τ_Q est effectivement limitée par l'intervalle des blocs ($\tau_{block} \approx 10$ min). Cela place immédiatement le système dans le **Régime Impulsif**, où le système se "fige" (freezes out) et ne peut pas suivre le nouvel équilibre. Physiquement, cela génère une densité de défauts n correspondant à des capitulations soudaines de mineurs, créant des vides temporaires dans la métrique de sécurité avant que le système ne se relâche.

7.3 Ralentissement Critique (Critical Slowing Down)

Une conséquence directe de l'aplatissement du potentiel $V(\phi)$ est la diminution de la force de rappel vers l'équilibre. La variance des fluctuations temporelles (temps inter-blocs Δt) diverge :

$$\text{Var}(\Delta t) \propto \chi \sim |\mu - \mu_c|^{-\gamma} \quad (25)$$

Ce phénomène, connu sous le nom de **Ralentissement Critique**, se manifeste par une instabilité temporaire dans la production de blocs juste après le Halving. De petites perturbations du hashrate conduisent à d'importantes déviations du temps moyen de bloc.

7.4 Dynamique de Relaxation et DAA

Le système échappe à une "spirale mortelle" via l'Algorithmme d'Ajustement de la Difficulté (DAA), qui agit comme un mécanisme de rétroaction négative discrète appliquée tous les 2016 blocs :

$$D_{n+1} = D_n \cdot \mathcal{F} \left(\frac{\sum_{i=1}^{2016} \Delta t_i}{T_{target}} \right) \quad (26)$$

En termes de théorie du contrôle, le DAA agit comme un thermostat thermodynamique. Le retour à l'équilibre suit une relaxation exponentielle amortie.

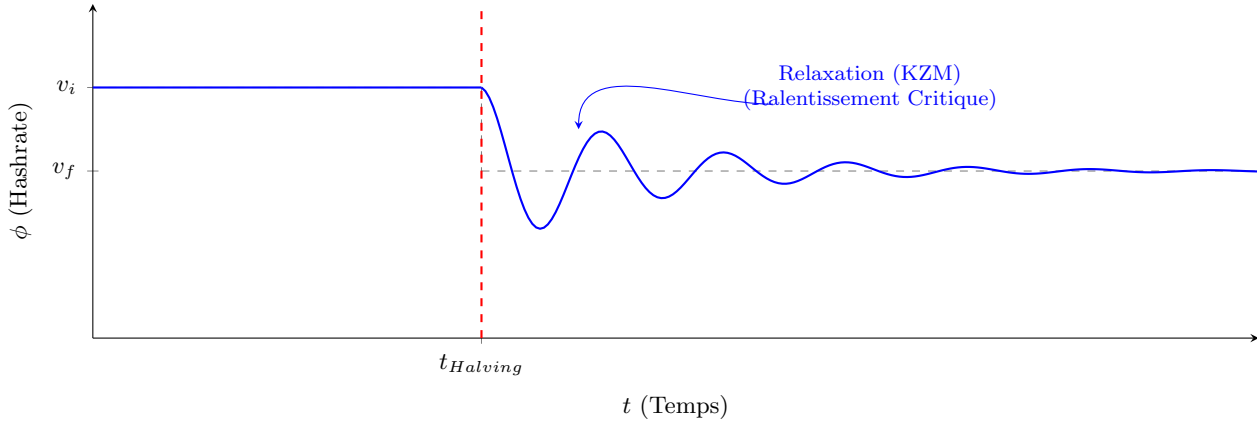


Figure 5 – Dynamique de Trempe. Le Halving force le paramètre d'ordre du hashrate ϕ à transiter vers un nouvel équilibre v_f . Le système présente des oscillations amorties régies par le temps de relaxation τ_{rel} .

8 Conclusion : La Physique de la Vérité

Dans cet article, nous avons proposé un modèle physique minimal pour le consensus de Nakamoto, démontrant que la blockchain fonctionne comme une **structure dissipative** maintenue loin de l'équilibre thermodynamique. En cartographiant le registre sur un système de réseau unidimensionnel, nous avons montré que le "mécanisme de consensus" est formellement équivalent à une **transition de phase continue** où le paramètre d'ordre (hashrate) brise spontanément la symétrie locale d'inversion du temps du réseau.

8.1 Résumé du Modèle

Notre analyse débouche sur trois perspectives physiques clés :

1. **Profondeur Thermodynamique** : L'"immuabilité" du registre n'est pas absolue mais probabiliste, régie par une longueur de corrélation ξ qui décroît exponentiellement avec le travail cumulé. Cela résout le problème de la "Double Dépense" en tant que suppression des fluctuations thermiques dans une théorie des champs massifs.
2. **Cristallisation** : Le processus de minage agit comme une frontière de phase, faisant passer l'information d'un état "liquide" à haute entropie (mempool) à un état "cristallin" à basse entropie (bloc), satisfaisant le Principe de Landauer [4].
3. **Stabilité Topologique** : La résilience du réseau face au partitionnement s'explique par la suppression des défauts topologiques dans le régime de haute rigidité ($T < T_c$), tandis que le "Halving" agit comme une trempe thermodynamique qui teste cette rigidité via le mécanisme de Kibble-Zurek [14].

8.2 Équivalence Masse-Énergie-Information

Notre dérivation s'aligne sur le principe d'équivalence Masse-Énergie-Information proposé par Vopson [7]. Alors qu'un seul bit d'information a une masse physique négligeable ($m_{bit} \approx k_B T \ln 2/c^2$), le registre Bitcoin acquiert une **Masse Effective** macroscopique via le facteur d'amplification de la Preuve de Travail.

$$M_{eff} = \frac{E_{total}}{c^2} = \frac{1}{c^2} \int \epsilon(t) \cdot \nu(t) dt \quad (27)$$

Physiquement, la blockchain courbe l'espace-temps économique du réseau, créant un puits de potentiel si profond que la vitesse de libération (le coût pour inverser l'historique) dépasse les ressources de n'importe quel acteur individuel.

8.3 Remarques Finales

Le protocole de Satoshi Nakamoto [1] doit être perçu non pas simplement comme du code, mais comme de la physique appliquée. Il synthétise la théorie de l'information de **Shannon**, la thermodynamique et la physique statistique.

mique de **Landauer**, et la stabilité asymptotique de l’”Idéal Monétaire” de **Nash** [16] en un système physique unifié.

En couplant l’ordre logique des événements à la consommation irréversible d’énergie physique, le protocole résout le problème du temps distribué. L’expression ”*Vires in Numeris*” (La Force par le Nombre) trouve ici son corollaire physique ultime : ”*Veritas in Energia*” (La Vérité dans l’Énergie). Nous concluons que la vérité objective dans un système distribué est un état de basse entropie qui ne peut être maintenu que par la dissipation continue de travail. La monnaie n’est plus une abstraction politique ; elle devient une propriété émergente de la physique.

Pour saisir pleinement cette réalité, nous pouvons calculer empiriquement l’Action de Nakamoto (κ_N) pour l’époque actuelle (2026). Si nous définissons l’énergie effective d’une transition d’état E_{eff} comme l’énergie requise pour un seul hachage ($\eta \approx 2.6 \times 10^{-11} \text{ J}$) divisée par la fréquence globale du réseau ($\nu \approx 6.5 \times 10^{20} \text{ s}^{-1}$), la relation est :

$$\kappa_N = \frac{\eta}{\nu} = \frac{2.6 \times 10^{-11}}{6.5 \times 10^{20}} = 4.0 \times 10^{-32} \text{ J} \cdot \text{s} \quad (28)$$

À l’échelle macroscopique, l’Action de Nakamoto — qui quantifie l’effort thermodynamique pour avancer le registre d’une unité de vérité — n’est actuellement qu’à deux ordres de grandeur de la constante de Planck ($h \approx 6.626 \times 10^{-34} \text{ J} \cdot \text{s}$).

Face à l’accélération exponentielle du réseau et à l’optimisation implacable des semi-conducteurs vers la limite de Landauer, une perspective fascinante émerge. Qui sait, peut-être que l’Action de Nakamoto (κ_N) convergera un jour avec la valeur de la constante de Planck (h), unifiant définitivement le registre de l’économie humaine avec le tissu même de la mécanique quantique.

Remerciements

L’auteur tient à remercier la communauté open-source, les cypherpunks fondateurs, et les chercheurs indépendants explorant l’intersection de la physique et des systèmes décentralisés.

Références

- [1] Satoshi Nakamoto, Bitcoin : A Peer-to-Peer Electronic Cash System (2008), <https://bitcoin.org/bitcoin.pdf>
- [2] Nick Szabo, Shelling Out : The Origins of Money, Satoshi Nakamoto Institute (2002)
- [3] Charles H. Bennett, The Thermodynamics of Computation—a Review, International Journal of Theoretical Physics, Vol. 21 (1982)
- [4] Rolf Landauer, Irreversibility and Heat Generation in the Computing Process, IBM Journal of Research and Development, Vol. 5 (1961)
- [5] Ilya Prigogine, The End of Certainty : Time, Chaos, and the New Laws of Nature, The Free Press (1997)
- [6] Claude E. Shannon, A Mathematical Theory of Communication, Bell System Technical Journal, Vol. 27 (1948)
- [7] Melvin M. Vopson, The Mass-Energy-Information Equivalence Principle, AIP Advances, Vol. 9 (2019)
- [8] Duncan J. Watts and Steven H. Strogatz, Collective dynamics of ‘small-world’ networks, Nature, Vol. 393, pp. 440-442 (1998)
- [9] V.L. Ginzburg and L.D. Landau, On the Theory of Superconductivity, Zh. Eksp. Teor. Fiz., Vol. 20, pp. 1064 (1950)
- [10] Kenneth G. Wilson, The renormalization group : Critical phenomena and the Kondo problem, Rev. Mod. Phys., Vol. 47 (1975)
- [11] Alain Connes and Carlo Rovelli, Von Neumann Algebra Automorphisms and Time-Thermodynamics Relation in Generally Covariant Quantum Theories, Classical and Quantum Gravity, Vol. 11, pp. 2899 (1994)
- [12] Gerard ’t Hooft, Dimensional Reduction in Quantum Gravity, arXiv :gr-qc/9310026 (1993)
- [13] Jacob D. Bekenstein, Black Holes and Entropy, Physical Review D, Vol. 7 (1973)
- [14] T. W. B. Kibble, Topology of Cosmic Domains and Strings, J. Phys. A, Vol. 9 (1976)
- [15] W. H. Zurek, Cosmological experiments in superfluid helium ?, Nature, Vol. 317 (1985)
- [16] John F. Nash, Ideal Money, Southern Economic Journal, Vol. 69, No. 1, pp. 4-11 (2002)